

日本鉄道建設公団関東支社 正員 高瀬 昭雄
日本鉄道建設公団関東支社 正員 菊地 正

1.はじめに

習志野台トンネルは、交通の輻輳する市道および住宅密集地直下の未固結砂層を土かぶり 5~12mで掘削する典型的な都市トンネルであり、掘削時の地表沈下を極力抑制することが重要な課題である。今回は道路直下におけるN A T M施工にあたって、従来の中壁工法=C D工法に工夫を加えたC R D工法を考案・適用することにより、地表沈下抑制に良好な成果を得たので、その内容を報告する。なおC D工法とはCenter Diaphragm工法、C R D工法とはCross Diaphragm工法の略である。

2. C R D工法開発の経緯

掘削は、土かぶり約10mの空地下をC D工法にて30m掘削後、C R D工法にてさらに30m掘削してその効果を確認した。図-1、2に、実際に適用した両工法の支保を示す。図中の切羽のナンバーは、掘削順序を表している。

掘削に先立ち、今後の家屋の近接した道路下掘削時を考慮した地表変形に対する管理目標値は、家屋位置での沈下勾配を $2/1000\text{rad}$ 以下、トンネルセンター直上での沈下量を30mmと設定したのに対し、C D工法施工区間では沈下勾配が $6.0/1000$ 、沈下量が80mm近くに達した。この結果、習志野台トンネルの施工環境下にあっては、C D工法の特長を活かすとともに、以下の点を改善することが必要と判断され、その結果考案されたのがC R D工法である。

C D工法の改善すべき点

- ①先進坑は縦長の形状のため、側圧の影響を受けやすい。
- ②先進坑の下半掘削時に、上半部分の沈下に対する断面内の支えを失う。
- ③先進坑の上段切羽と後進坑の上段切羽の離れが大きいため（今回は30m）、先進坑掘削によって応力再配分された地山を再度乱すことになる。

これに対して、C R D工法では以下の改善をはかった。

- (i) (①に対して) 上段と中段にストラットを入れて、各加背ごとに閉合する。
- (ii) (②、③に対して) 施工手順として先進坑の中段掘削後は後進坑の上段を掘削することにより、両坑の切羽の離れを5mと縮小する。これにより中段盤から上部を一次閉合できるため、側圧に対して強い構造系を得ることができる。

この結果、C R D工法施工区間では地表沈下勾配は最大で $2.3/1000$ 、沈下量も26~30mmとほぼ目標に近い変形で施工された。

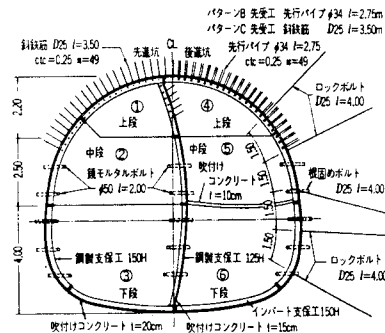


図-1 C D区間支保

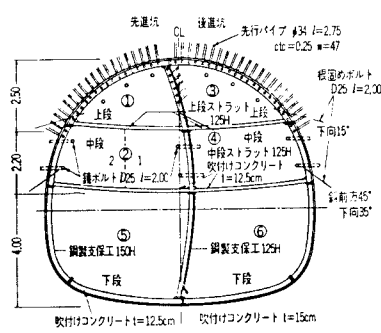


図-2 C R D区間支保

3. C R D工法による沈下抑制効果の検証

C R D工法による地表沈下抑制効果について、ほぼ同一条件下におけるC D工法施工時の地表沈下量との比較より報告する。

図-3は、両工法施工時のトンネルセンター直上での各切羽到達時の地表沈下量を表している。最終沈下量はC D工法区間では60~80mm程度に達しているのに対して、C R D工法区間ではほぼ30mm以内と、C D工法区間の1/2~1/3程度に減少していることが明白にわかる。また各掘削段階における沈下量の増加はC D工法区間ではばらつき・絶対値とも大きく、特に中段および下半切羽到達後に大きな沈下量が現れているのに対して、C R D工法区間ではその増加は各掘削段階で平均化されている。

図-4、5は、横断方向の沈下曲線および測点間の沈下量の差により求めた沈下勾配を示している。沈下はともに、トンネルセンターより左右に15~20m間で発生している。また最大沈下量の発生位置は、ともに先進坑側に現れているが、特にC D工法では、その傾向が顕著である。沈下曲線の最大勾配は、C D工法では後進坑側3~6m間で 6.0×10^{-3} であるのに対して、C R D工法では後進坑側3~6m間で 2.3×10^{-3} となだらかな曲線になっており、目標値にほぼ近い値となっている。

以上、両工法区間の地山の物理性値については顕著な差はないことから、C R D工法考案にあたって工夫した対策が着実に沈下抑制に効果をもたらしたもの

と想定される。

Figure 3 consists of two tables showing ground surface subsidence at various sections reached by the cutting edge for CD and CRD methods. The left table is for the CD method and the right table is for the CRD method. Both tables have columns for measurement positions: 9k170m, 9k175m, 9k180m, 9k185m, and 9k190m. The rows represent different sections (① to ⑥) and a final row for '最終' (Final). Each cell contains a numerical value representing subsidence in mm.

CD工法各断面到達時の地表面沈下量					
	9k170m	9k175m	9k180m	9k185m	9k190m
土かぶり(m)	10.3	10.5	10.4	10.3	10.5
①	1 0	1 3	5 4	6 5	5 4
②	1 12	4 22	9 20	11 18	16
③	13 11	26 9	29 26	29 17	25 19
④	24 1	35 0	55 3	46 2	44 5
⑤	25 23	35 25	58 11	48 17	49 9
⑥	48 13	60 17	69 15	65 12	58 6
最終	61	77	84	77	64

CRD工法各断面到達時の地表面沈下量					
	9k200m	9k205m	9k210m	9k215m	9k219m
土かぶり(m)	10.2	10.0	9.8	9.8	10.2
①	4 1	4 4	2 6	4 4	8 2
②	5 3	8 4	8 3	4 4	10 6
③	8 6	12 5	11 4	12 16	
④	14 2	17 3	16 2	16 4	19 5
⑤	16 4	23 5	18 7	20 5	24 2
⑥	20 5	25 8	25 5	25 1	26 4
最終	29	33	30	26	30

図-3 各断面到達時の地表面沈下量

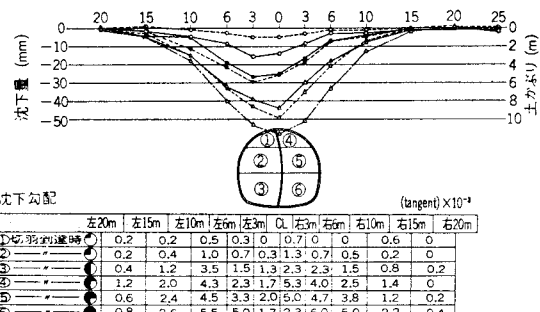


図-4 9k190m地点横断方向地表沈下図(CD工法)

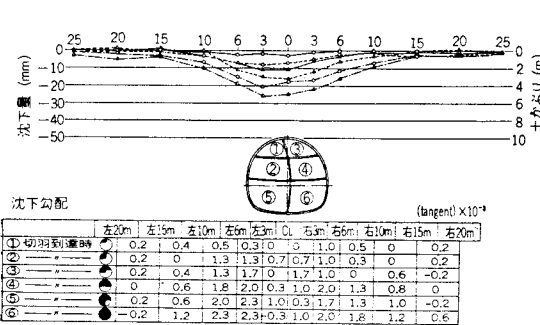


図-5 9k210m地点横断方向地表沈下図(CRD工法)

4. おわりに

習志野台トンネルは、従来の常識からすれば当然、開削・シールド工法といったジャンルに分類される極めて代表的な都市トンネルであるが、今日の山岳トンネル掘削技術は、これをも経済性に優れたNATMで施工する領域に取り組んでいる。今回は都市トンネルの重要な課題である地表沈下抑制について、これまでに実績のあるC D工法に施工データ面から工夫を加えたC R D工法を開発・適用することにより極めて良好な結果が得られたことを報告させていただいた。